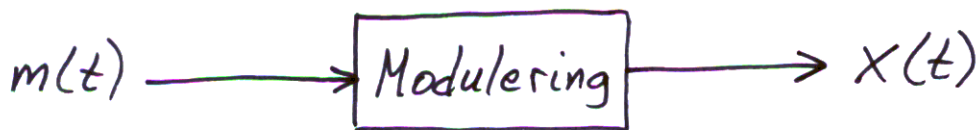


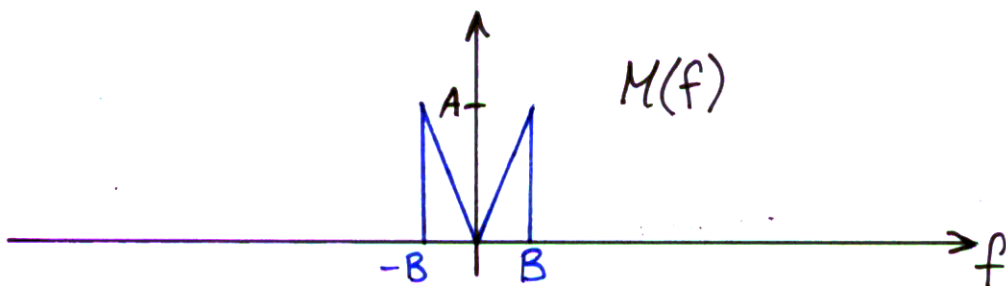
# ANALOG MODULERING



m(t): Meddelandesignal med signalenergin vid läga frekvenser, dvs. en basbandssignal.

X(t): Modulerad signal, med signalenergin vid relativt höga/högre frekvenser, en passbandssignal.

Ex, spektrum för m(t):



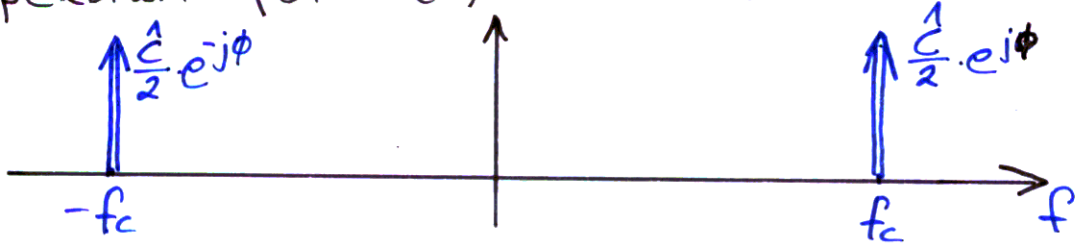
Den modulerade signalen X(t) erhålls genom att läta m(t) påverka/modulera

- ① Amplituden,
- ② Frekvensen eller
- ③ Fasen

hos en bärvåg  $c(t) = \hat{C} \cdot \cos(\omega_c t + \phi)$  (carrier)

Detta kallas ① Amplitudmodulering (AM),  
② Frekvensmodulering (FM) resp. ③ Fasmodulering (PM/PhM).

Spektrum för c(t):  $C(f) = \frac{\hat{C}}{2} e^{-j\phi} \delta(f+f_c) + \frac{\hat{C}}{2} e^{j\phi} \delta(f-f_c)$



# AM - Amplitudmodulering

Gällde kurser  
t.o.m. 2018

Repetera AM i föreläsning 7! (bild 14-16)

Bärväg:  $c(t) = \hat{C} \cdot \cos(\omega_c t)$

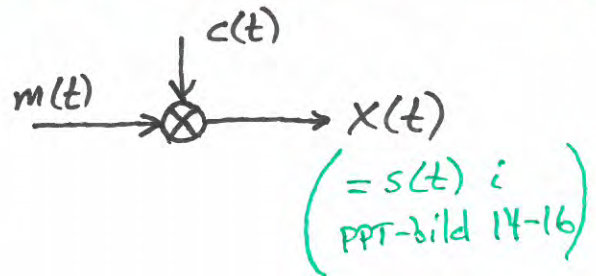
$\hat{C} = A$  i Mikael's kompendium

Oftast:  $\hat{C} = A = 1$ . (som i föreläsningens powerpointbilder 14-)

## AM-DSB-SC

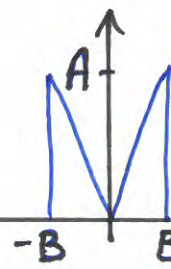
(Double Side Band - Suppressed Carrier)

$$x(t) = m(t) \cdot c(t) \\ = m(t) \cdot \cos(\omega_c t)$$



Se kompendiet,  
Fig. 3.4

$M(f)$

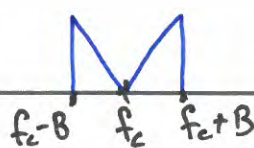
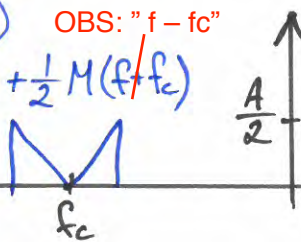


w i kompendiet

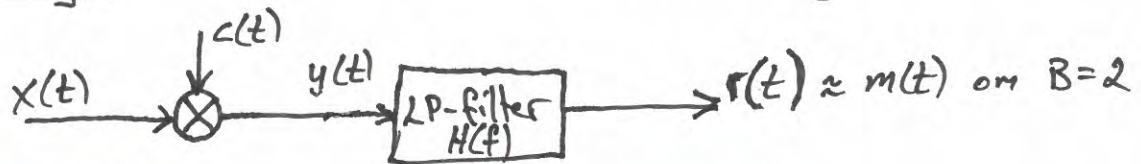
$C(f)$



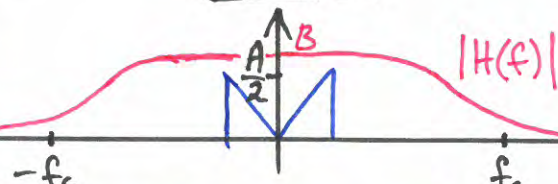
$$x(f) = (M * C)(f) \quad \text{OBS: "f - fc"} \\ = \frac{1}{2}M(f + f_c) + \frac{1}{2}M(f - f_c)$$



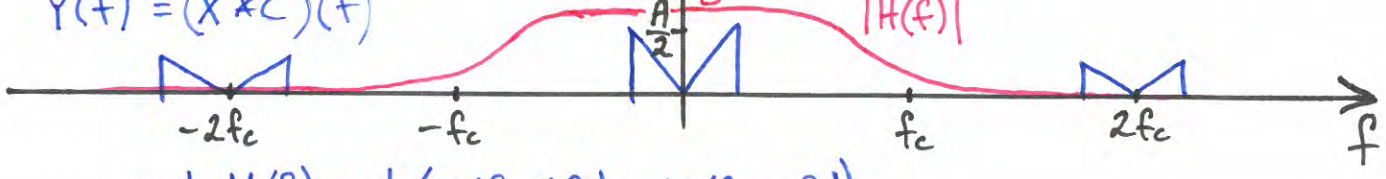
Demodulering: Mult. med  $c(t)$  samt LP-filtrering



$y(f) = (x * c)(f)$



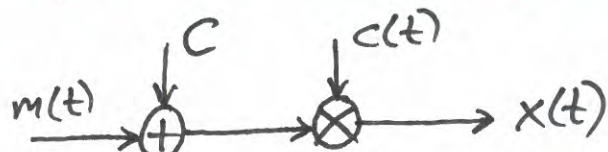
$$= \frac{1}{2}M(f) + \frac{1}{4}(M(f+2f_c) + M(f-2f_c))$$



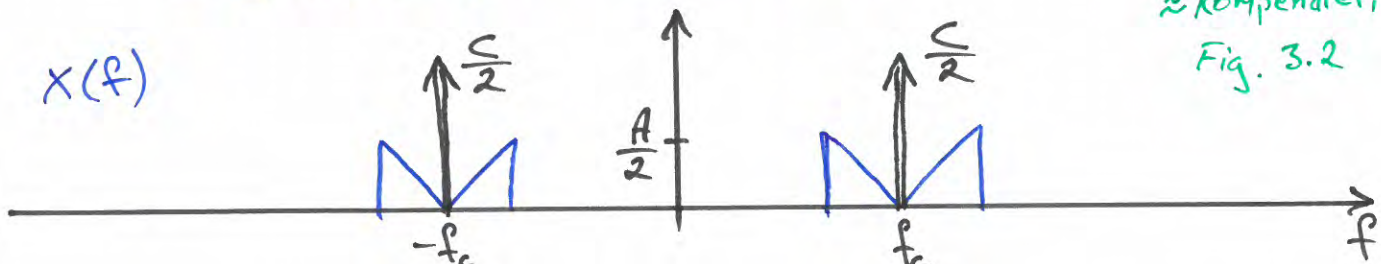
## • AM - DSB

(bärvägen ingår i den modulerade signalen)

$$\begin{aligned} x(t) &= (C + m(t)) \cdot c(t) \\ &= (C + m(t)) \cdot \cos(\omega_c t) \\ &= C \cdot \cos(\omega_c t) + m(t) \cdot \cos(\omega_c t) \end{aligned}$$

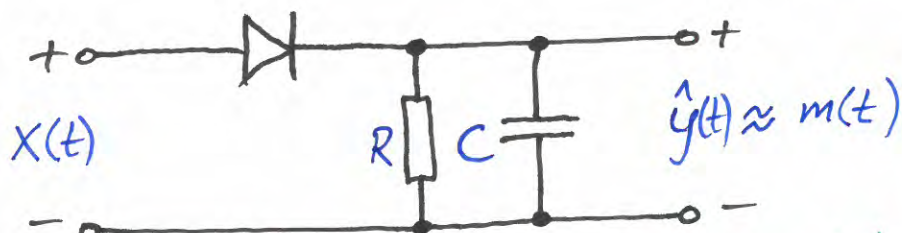


≈ Kompendiet,  
Fig. 3.2

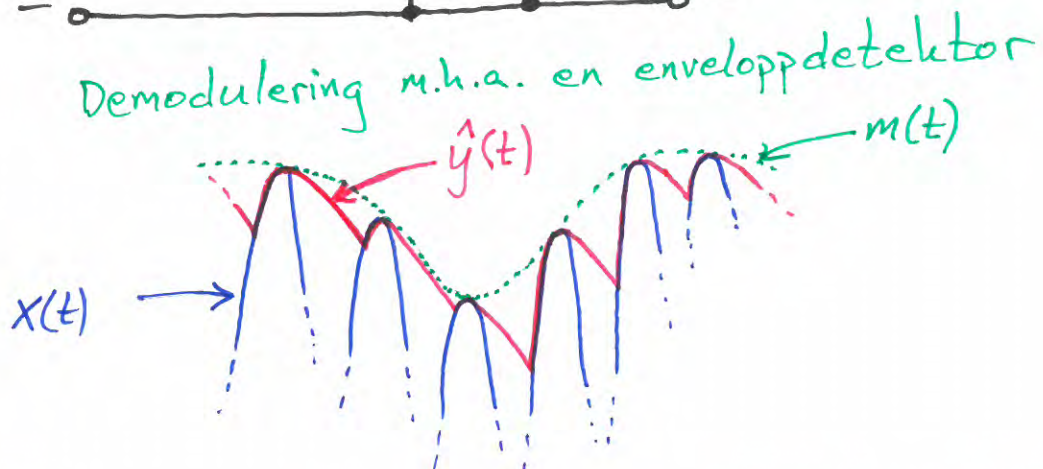


$C$  väljs så att  $C + m(t) > 0 \quad \forall t$

⇒ Då kan  $m(t)$  enkelt erhållas från  $x(t)$   
m.h.a. en enveloppedektor:



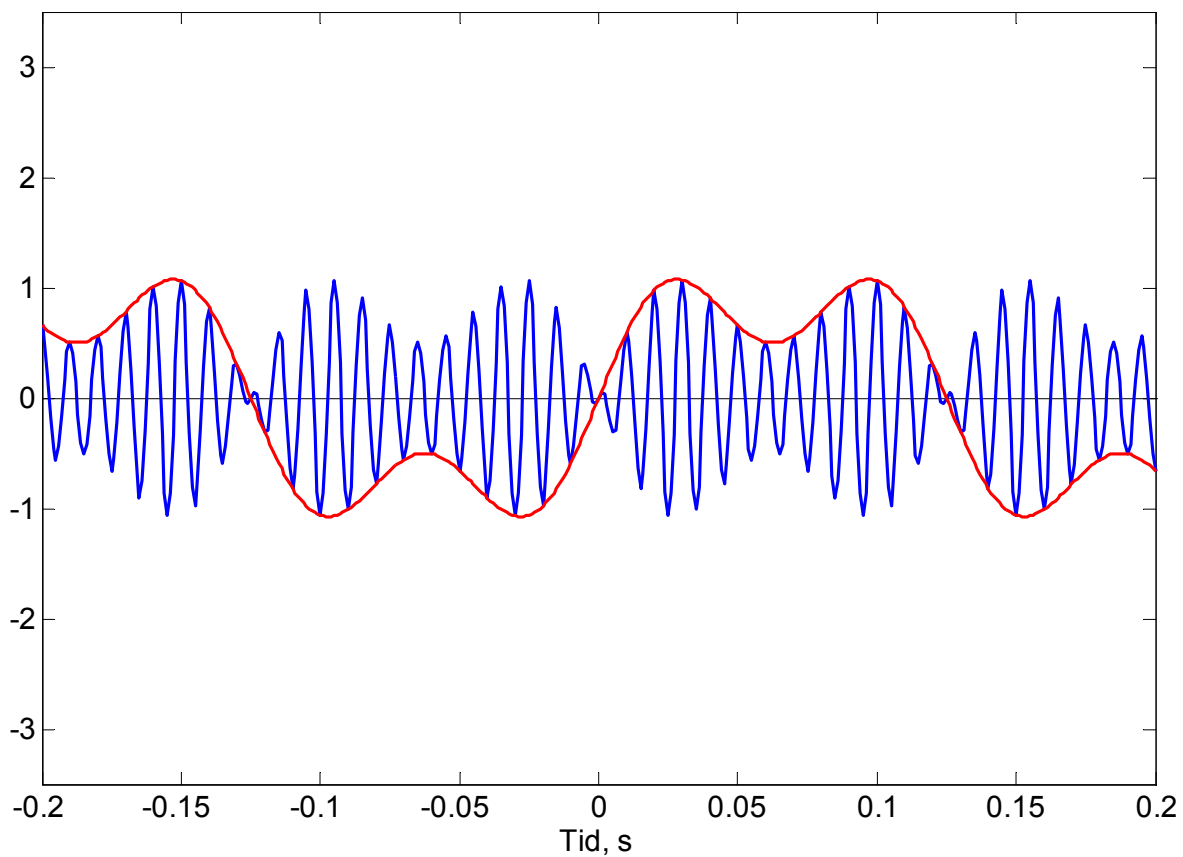
≈ Kompendiet,  
Fig 3.1



[Jämförelse AM-DSB-SC & AM-DSB, nästa sida]

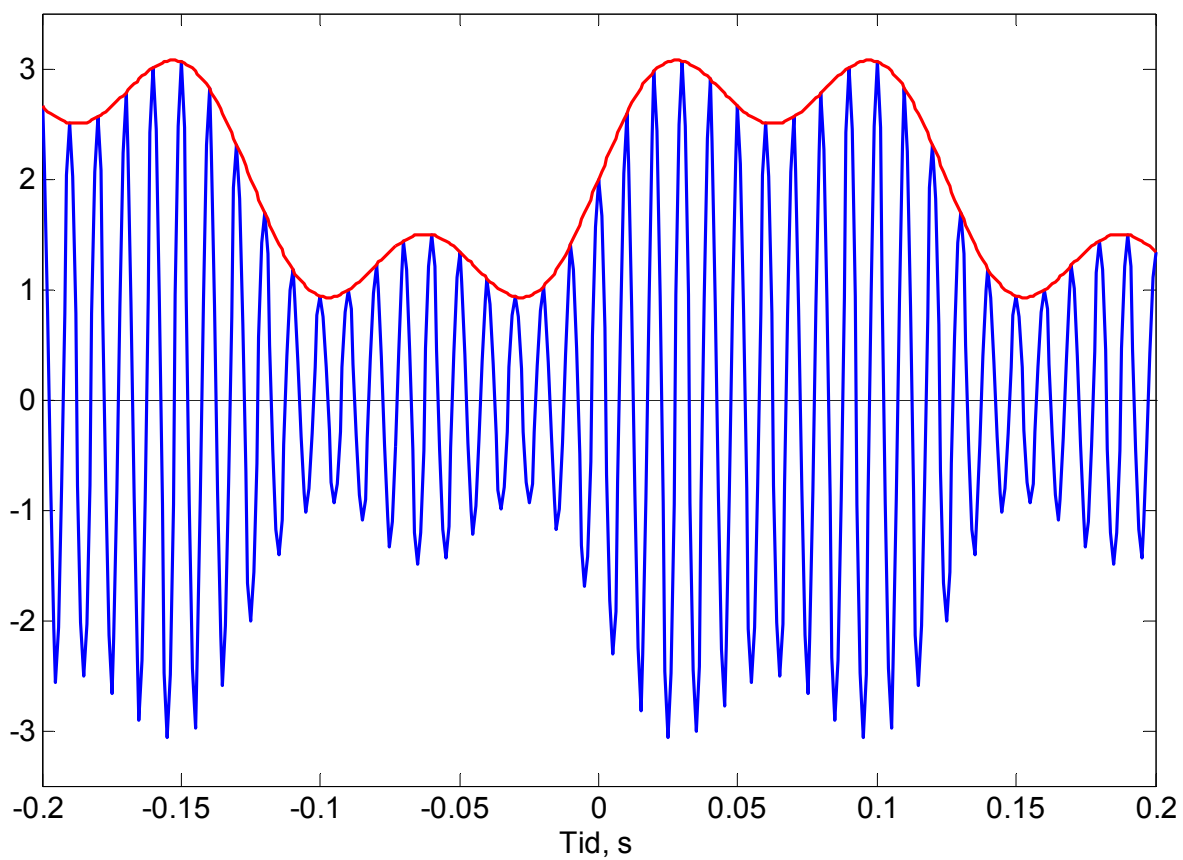
Signalen  $m(t)$  (röd).

Modulerad signal AM-DSB-SC:  $s(t)=m(t)c(t)$  (blå)

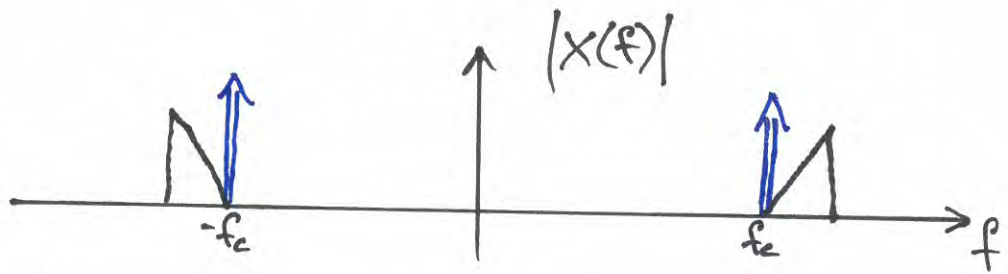


Signalen  $2+m(t)$  (röd).

Modulerad signal AM-DSB:  $s(t)=(2+m(t))c(t)$  (blå)

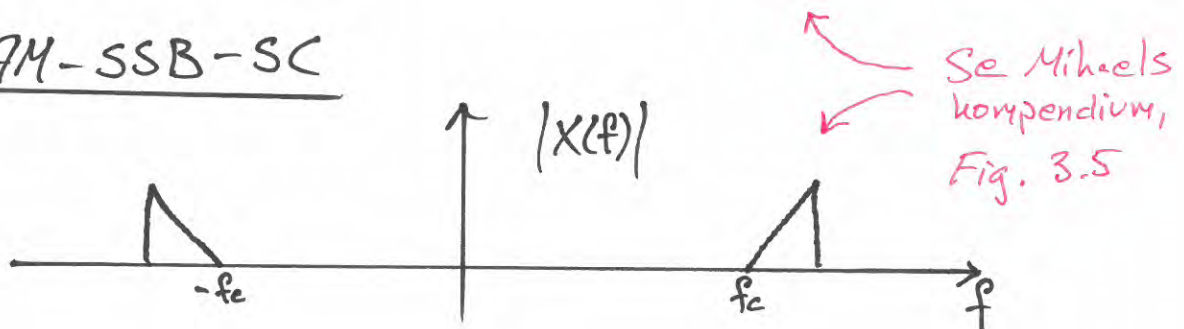


- AM-SSB (Single Side Band)



(Spara undre eller övre sidbandet; sparar bandbredd)

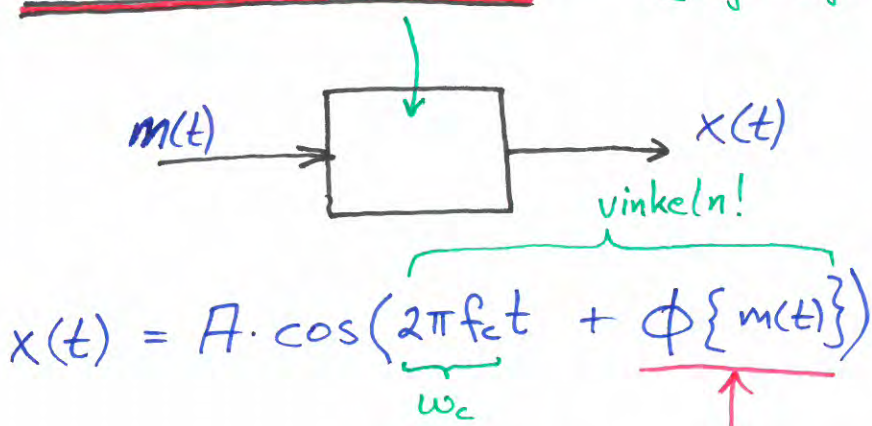
- AM-SSB-SC



[Fö" visas och demonstreras olika samband och egenskaper för AM på dator och tavlan!]

## VINKELMODULERING

(eng: angle modulation)



$$= A \cdot \cos(\underbrace{\theta(t)}_{\text{Momentan vinkel}})$$

Momentan frekvens:

$$f_{mom}(t) = \frac{1}{2\pi} \cdot \frac{d}{dt}(\theta(t)) = f_c + f_d(t)$$

där  $f_d(t) = \frac{1}{2\pi} \cdot \frac{d}{dt}(\phi\{m(t)\})$  är den momentana frekvensavvikelsen (från  $f_c$ )

### Fasmodulering (PM)

$$\phi\{m(t)\} = a \cdot m(t); a \in \mathbb{R}$$

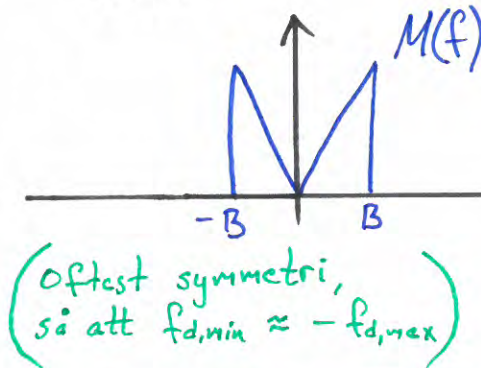
$$\Rightarrow f_d(t) = \frac{a}{2\pi} \cdot \frac{dm(t)}{dt}$$

### Frekvensmodulering (FM)

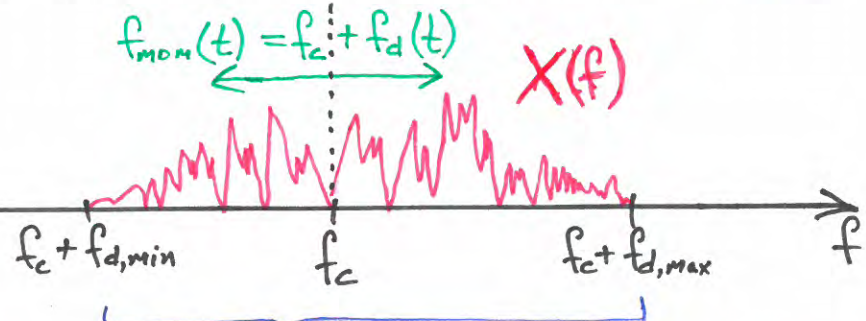
$$\frac{d}{dt}(\phi\{m(t)\}) = a \cdot m(t)$$

$$\Rightarrow f_d(t) = \frac{a}{2\pi} \cdot m(t)$$

PM & FM är icke-linjära modulationsformer  $\Rightarrow$  mycket svårt att allmänt beskriva eller beräkna deras frekvensspektrum  $X(f)$ !

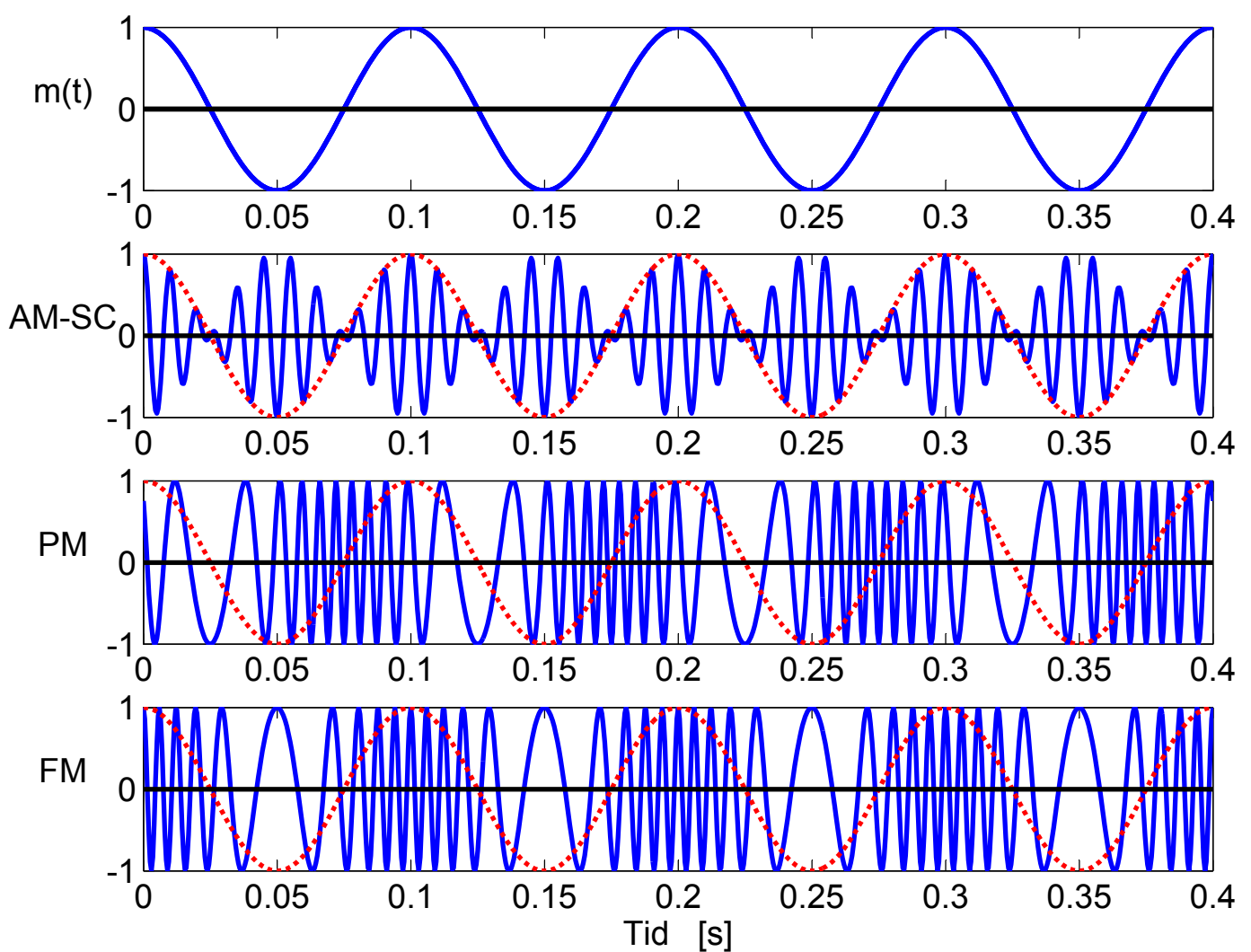


$$\boxed{\text{PM: } f_{d,max} \sim \left| \frac{dm(t)}{dt} \right|_{\max}}$$



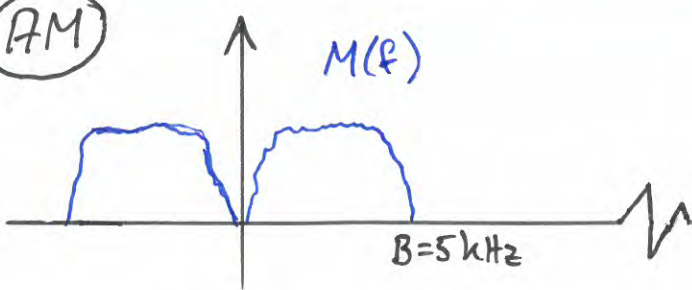
$$\boxed{\text{FM: } f_{d,max} \sim |m(t)|_{\max}}$$

Bandbredden för PM & FM beror även på  $a$ ?



# Jfr. AM-radio & FM-radio

AM



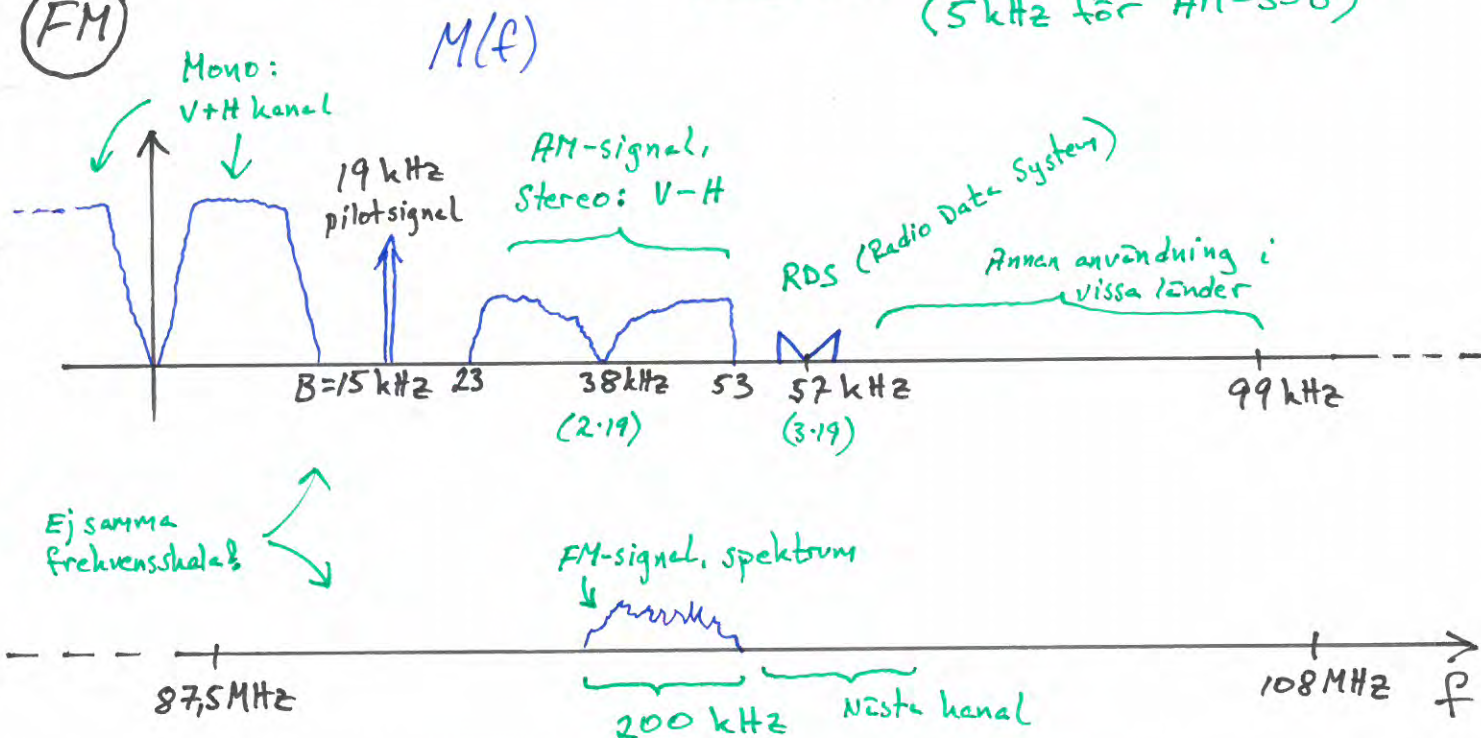
AM-signal, spektrum:

Mellanväg  $\Rightarrow$   
 $531 - 1611 \text{ kHz}$   
 $10 \text{ kHz}$  kanalseparation

AM-DSB:

Bandbredd  $\approx 2B = 10 \text{ kHz}$   
(5 kHz för AM-SSB)

FM



$\approx 100$  kanaler  $\approx 200 \text{ kHz}$

dvs. 200 kHz kanalseparation

- Basbandssignalen (audio) är 15 kHz hos FM, endast 5 kHz hos AM
- FM sänds i stereo, AM sänds i Mono.
- FM möjliggör tjänster som RDS m.fl.
- FM är enkel/enklare att demodulera.
- AM-signaler är längre än FM-signaler (ty lågre frekvens)

Dvs. FM har högre audiokvalitet

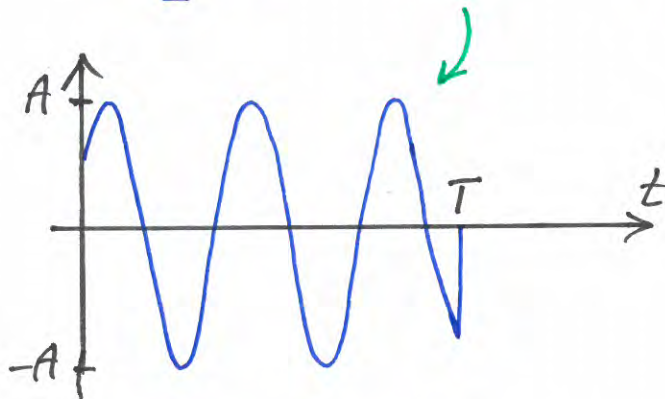
# DIGITAL MODULATION



$$x(t) = \begin{cases} A \cdot \cos(\omega_c t + \varphi); & 0 \leq t < T \\ 0; & \text{f.o.} \end{cases}$$

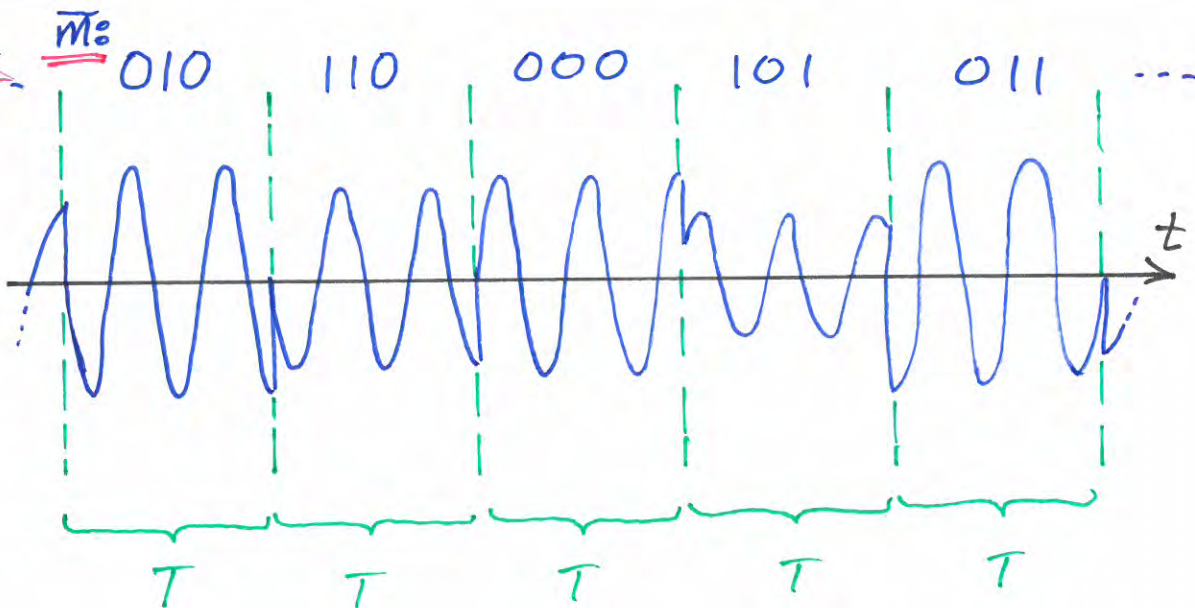
$\omega_c = 2\pi f_c$

Bärvägen  $x(t)$  genereras av en eller flera binära siffror 0,1 som påverkar  $A$ ,  $\varphi$  och/eller  $\omega_c$ .



Beroende på hur  $A$ ,  $\varphi$  och  $\omega_c$  påverkas, så erhålls olika modulationsformer: ASK, PSK, FSK, QAM, ...

## EXEMPEL



→ En sekvens av olika efterföljande pulser/pulsformer.

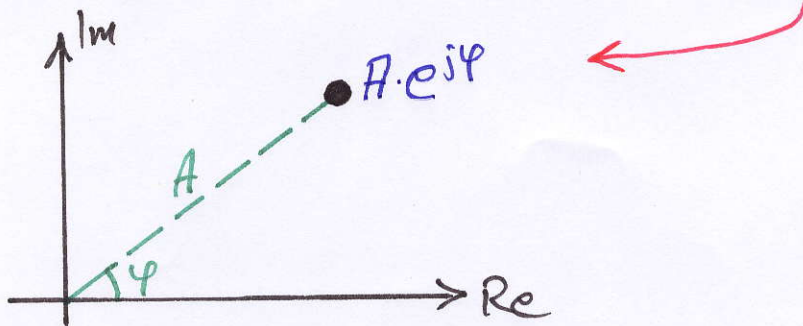
Här genereras varje "signalpuls" av 3 bitar  $\Rightarrow 2^3 = 8$  olika möjliga signalpulser/pulsformer i detta exempel.

## Signaluppsättningsdiagram

## Konstellationsdiagram

Bärvägen representeras ofta grafiskt i ett 2-dimensionellt plan, som t.ex. det komplexa talplanet:

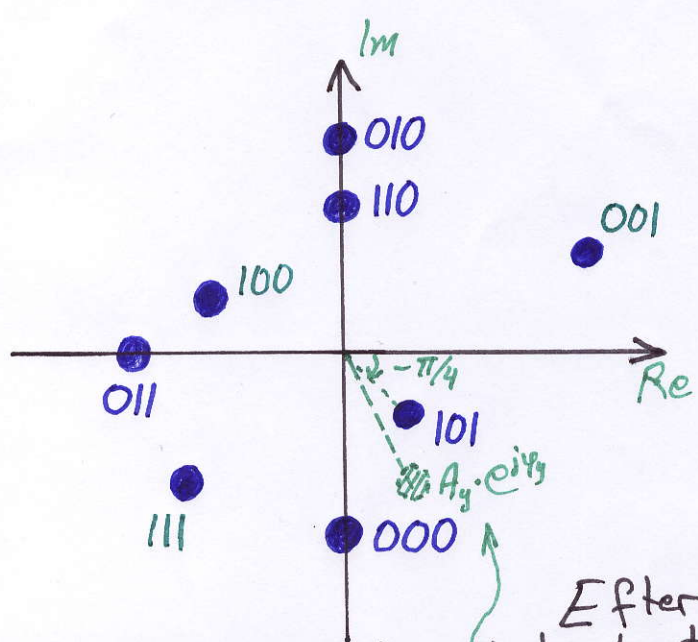
$$A \cdot \cos(\omega_c t + \varphi) = A \cdot \operatorname{Re}\{e^{j(\omega_c t + \varphi)}\} = \operatorname{Re}\{A \cdot e^{j\varphi} \cdot e^{j\omega_c t}\}$$



konstellationsdiagram

Def: Ett signaluppsättningsdiagram (eng: signal spacediagram) visar, i ett 2-dimensionellt plan, alla möjliga bärvägslägen/punkter som finns för en viss modulationsform.

För exemplet på förra sidan, med 8 möjliga signalpulser, så har dess signaluppsättningsdiagram 8 motsvarande punkter.



När mottagaren i ett visst tidsintervall shall detektera vilken av de 8 signalpulserna som skickats, dvs. vilken amplitud  $A$  och fas  $\varphi$  som den skickade cos-pulsen har, så är det ekvivalent med att beräkna motsvarande punkt i signaluppsättningsdiagrammet, dvs.  $A \cdot e^{j\varphi}$ .

Efter att ha passerat kanalen, så har den sända signalpulsen distorderats, så att den mottagna pulsen har motsvarande punkt  $A_y \cdot e^{j\varphi_y}$ . Då väljer mottagaren den punkt  $A \cdot e^{j\varphi}$  som ligger närmast  $A_y \cdot e^{j\varphi_y}$ .

# OLIKA DIGITALA MODULATIONSMETODER

## Binära modulationsformer

Varje enskild bit representeras  
av en signalpuls  $\Rightarrow$

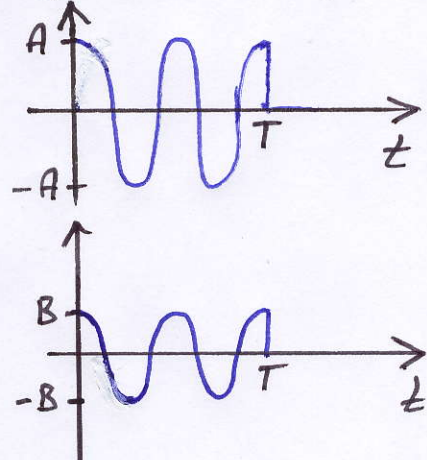
$$\bar{m} = (m_1, m_2, m_3, \dots, m_k, \dots)$$

där  $\begin{cases} m_k = 0 \\ m_k = 1 \end{cases}$  representeras av signalpulsen  $\begin{cases} s_0(t) \\ s_1(t) \end{cases}$

### 2-ASK (Amplitude Shift Keying, 2 nivåer)

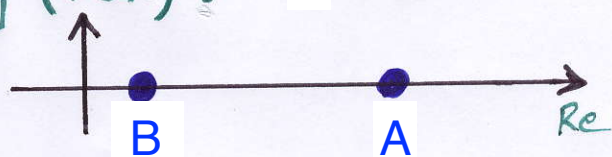
$$s_0(t) = \begin{cases} A \cdot \cos(2\pi f_c t); & 0 \leq t < T \\ 0; & \text{f.ö.} \end{cases}$$

$$s_1(t) = \begin{cases} B \cdot \cos(2\pi f_c t); & 0 \leq t < T \\ 0; & \text{f.ö.} \end{cases}$$



Specialfall, On-Off Keying (OOK):  $B = 0$

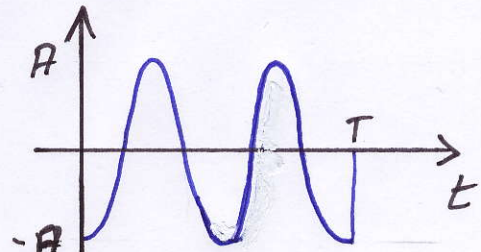
Signaluppsättningsdiagram:  
Konstellationsdiagram!



### BPSK (Binary Phase Shift Keying) $(\omega_c = 2\pi f_c)$

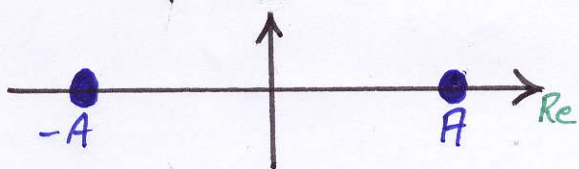
$$s_0(t) = \begin{cases} A \cdot \cos(\omega_c t + \pi); & 0 \leq t < T \\ 0; & \text{f.ö.} \end{cases}$$

$$s_1(t) = \begin{cases} A \cdot \cos(\omega_c t); & 0 \leq t < T \\ 0; & \text{f.ö.} \end{cases}$$



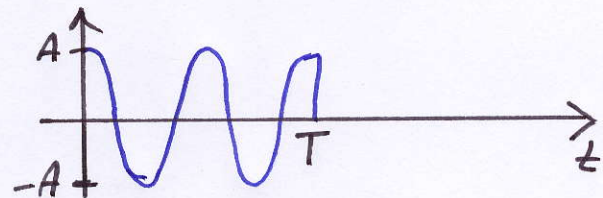
Signaluppsättning-diagram:

Konstellationsdiagram!

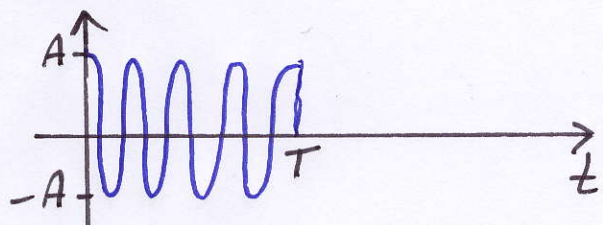


# BFSK (Binary Frequency Shift Keying) $\left\{ \begin{array}{l} \omega_0 = 2\pi f_0 \\ \omega_1 = 2\pi f_1 \end{array} \right\}$

$$s_0(t) = \begin{cases} A \cdot \cos(\omega_0 t); & 0 \leq t < T \\ 0; & \text{f.ö.} \end{cases}$$



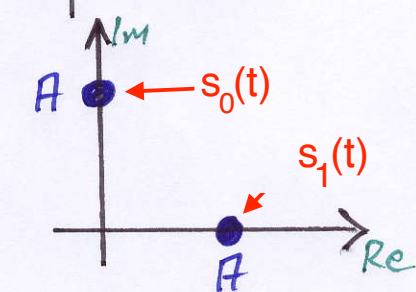
$$s_1(t) = \begin{cases} A \cdot \cos(\omega_1 t); & 0 \leq t < T \\ 0; & \text{f.ö.} \end{cases}$$



Konstellationsdiagram

Signaluppsättningsdiagram:

OBS: Ett sådant signaluppsättningsdiagram erhålls också för två bärvågor som har samma frekvens, men där faserhinknaden mellan dem är  $\frac{\pi}{2}$  rad.



$s_0(t)$  &  $s_1(t)$  är ortogonala över tidsintervallet  $0 \leq t < T$   
om  $f_0$  och  $f_1$  väljs så att  $2f_0T$  &  $2f_1T$  är olika hälften!

(Motiveras utgående från signalpulsernas frekvensegenskap 3 sidor längre fram)

Ortogonaliteten innebär att

$$\int_0^T s_0(t) s_1(t) dt = 0$$

$\bar{m}:$

0

1

1

0

1

0

0

1

$= (m_1, m_2, m_3, \dots)$

$x(t)$

OOK  
2-ASK

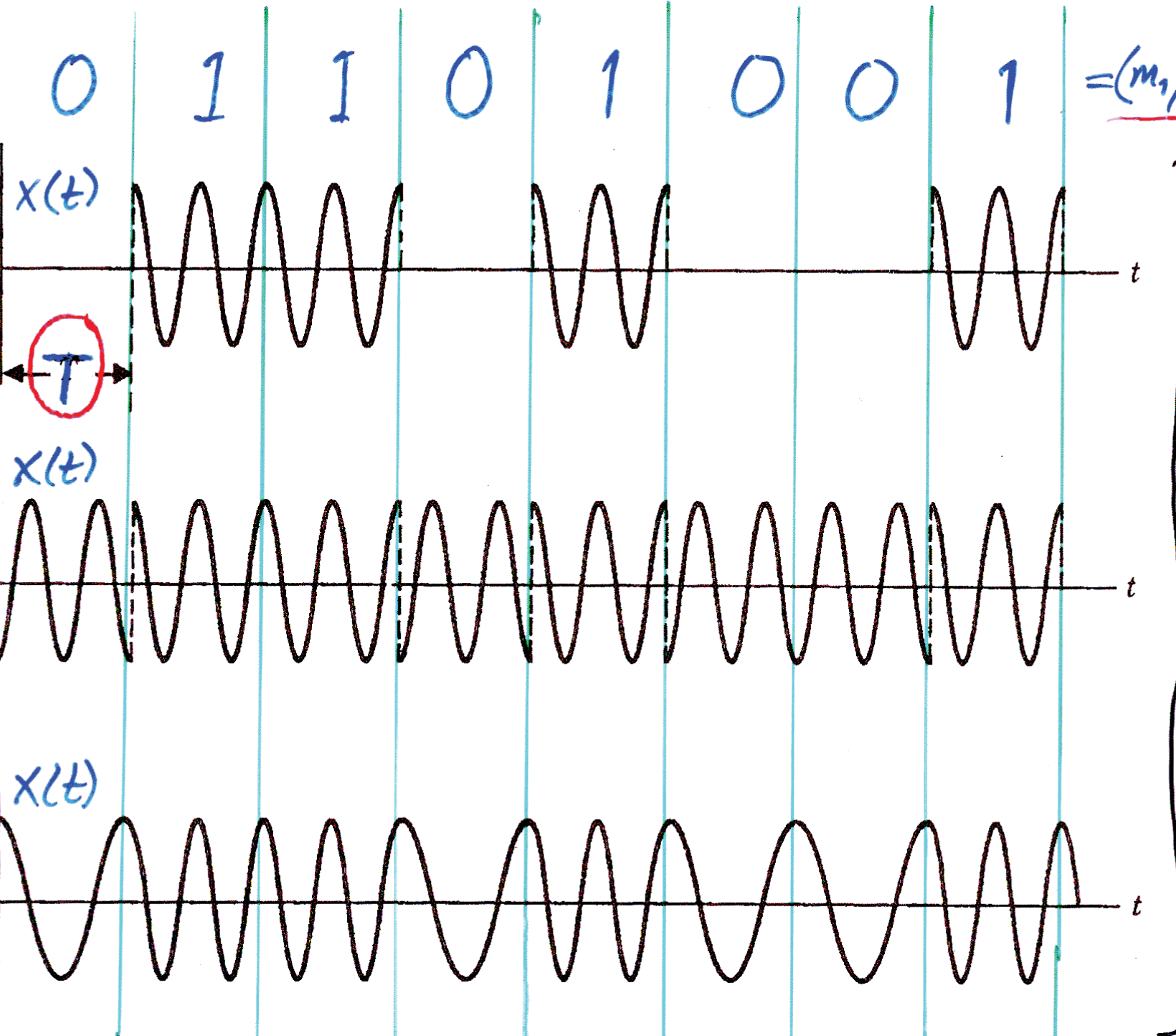
$x(t)$

BPSK

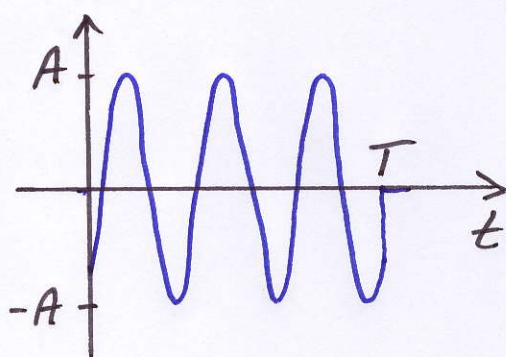
$x(t)$

BFSK

Binära modulationsformer



# Frekvensegenskap för ASK & (B)PSK

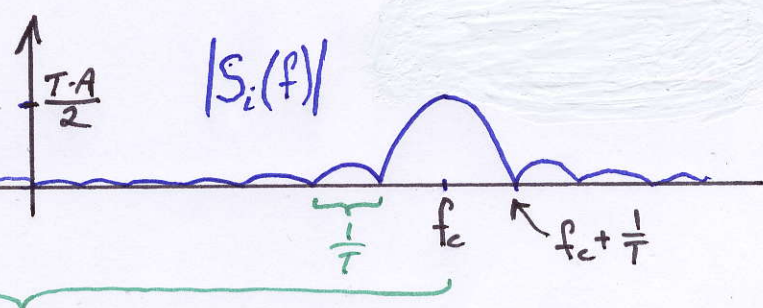
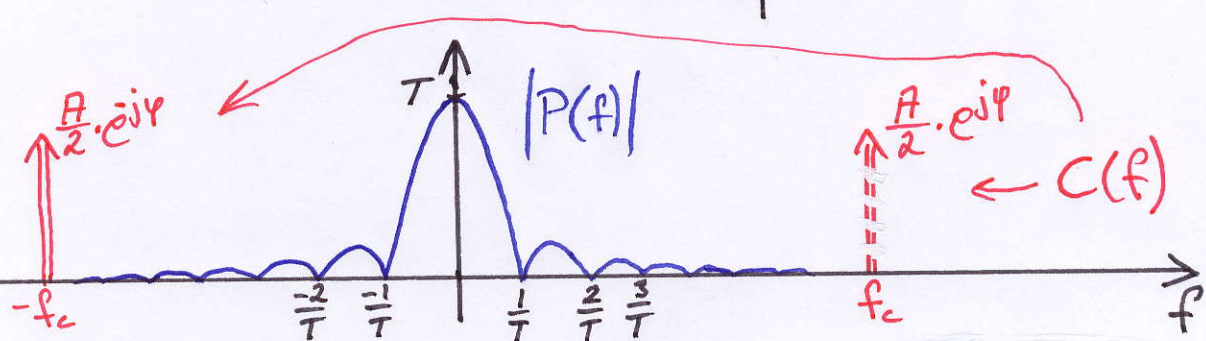
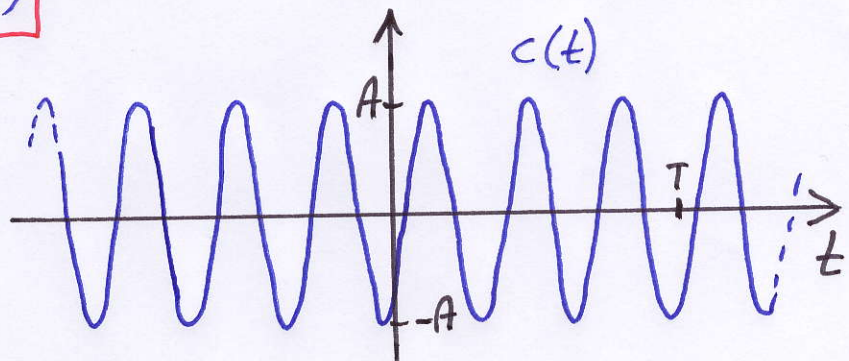
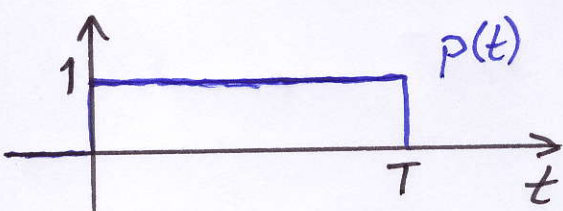


$$S_i(t) = \begin{cases} A \cdot \cos(2\pi f_c t + \varphi); & 0 \leq t < T \\ 0; & \text{f.ö.} \end{cases}$$

Signalpulsen motsvaras av punkten  $A \cdot e^{j\varphi}$  i ett konstellationsdiagram signaluppsättningsdiagram.

Uttryck signalpulsen som  $S_i(t) = p(t) \cdot c(t)$ , där  $p(t) = u(t) - u(t-T)$  och  $c(t) = A \cdot \cos(2\pi f_c t + \varphi)$ .

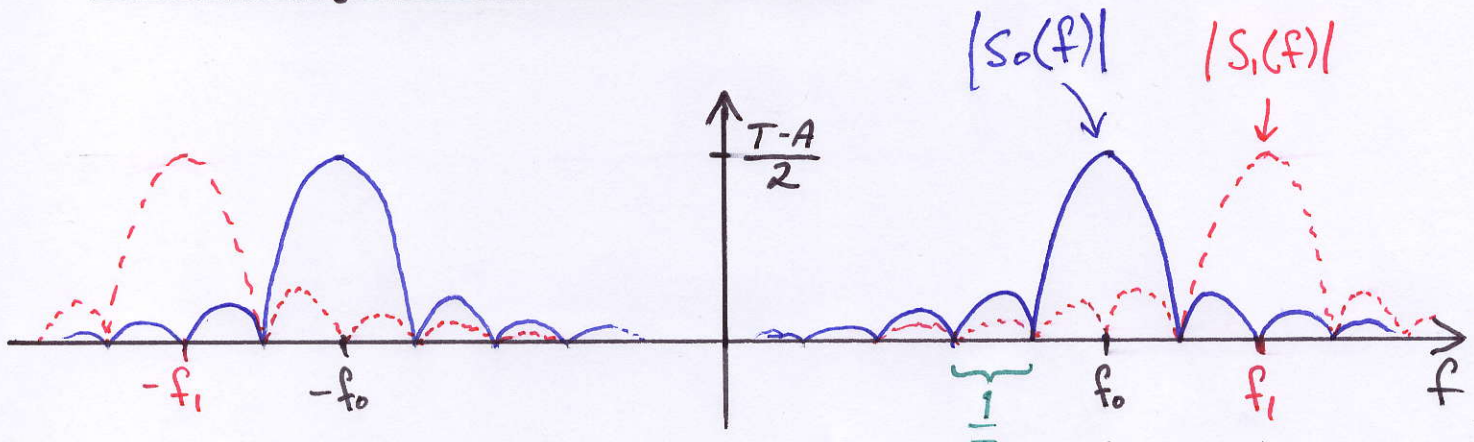
$$\Rightarrow S_i(f) = (P * C)(f)$$



$$\text{Krav: } 2f_c = \frac{1}{T} \cdot \text{heltal} \Rightarrow \underline{2f_c T = \text{heltal}}$$

A erhålls från  $|S_i(f)|$ ,  $\varphi$  erhålls från  $\arg S_i(f)$

## Frekvensegenskap för BFSK



$$\begin{cases} 2 \cdot f_0 = \frac{1}{T} \cdot \text{heltal} \\ 2 \cdot f_1 = \frac{1}{T} \cdot \text{heltal} \end{cases}$$

$$\begin{aligned} f_1 - f_2 &= \text{heltal} \cdot \frac{1}{T} \\ (f_1 - f_2)_{\min} &= \frac{1}{T} \quad ! \end{aligned}$$

BFSK har högre bandbredd än BPSK.

⇒ kanalen måste ha högre bandbredd för att inte distordera signalpulseerna.

För varje tidsinterval skickas antingen  $s_0(t)$  eller  $s_1(t)$  ⇒ spektrum för skickad signalpuls är antingen  $S_0(f)$  eller  $S_1(f)$ .

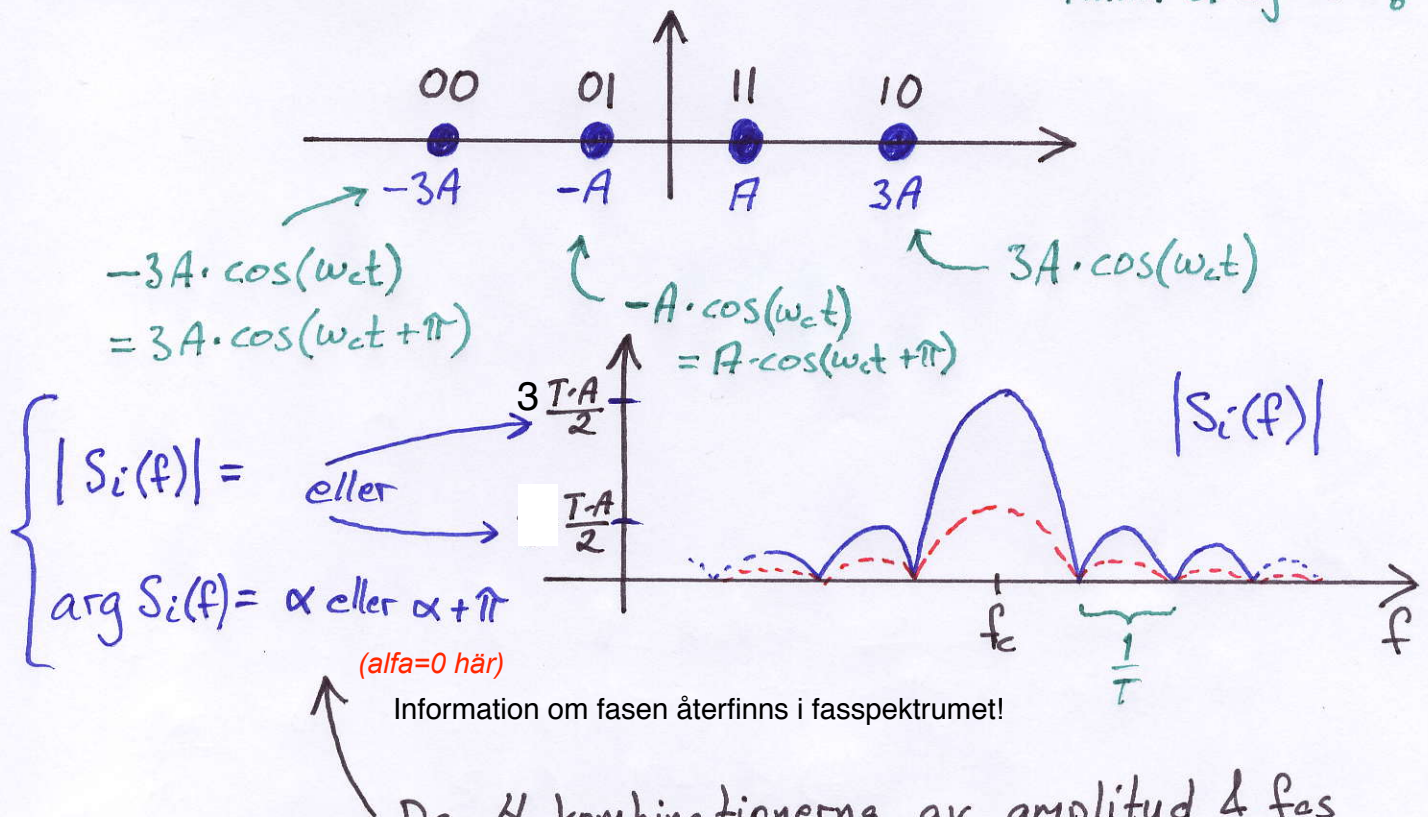
## ICKE-BINÄR MODULATION

Om varje signalpuls  $s_i(t)$  genereras av flera biter, så erhålls högre datatakt.

(se det inledande exemplet, i samband med def. av signaluppsättningsdiagram, med 3 biter per signalpuls)  
konstellationsdiagram

Ex., 4-ASK:

Anm: Gray-kod!



De 4 kombinationerna av amplitud & fas motsvarar de 4 olika signalpulserna, som motsvarar de 4 olika binära orden (00), (01), (11) & (10)

Generell ASK (M-ASK):

$M = 2^b$  signalpulser/amplitudnivåer som representerar  $b$ -bitars ord.

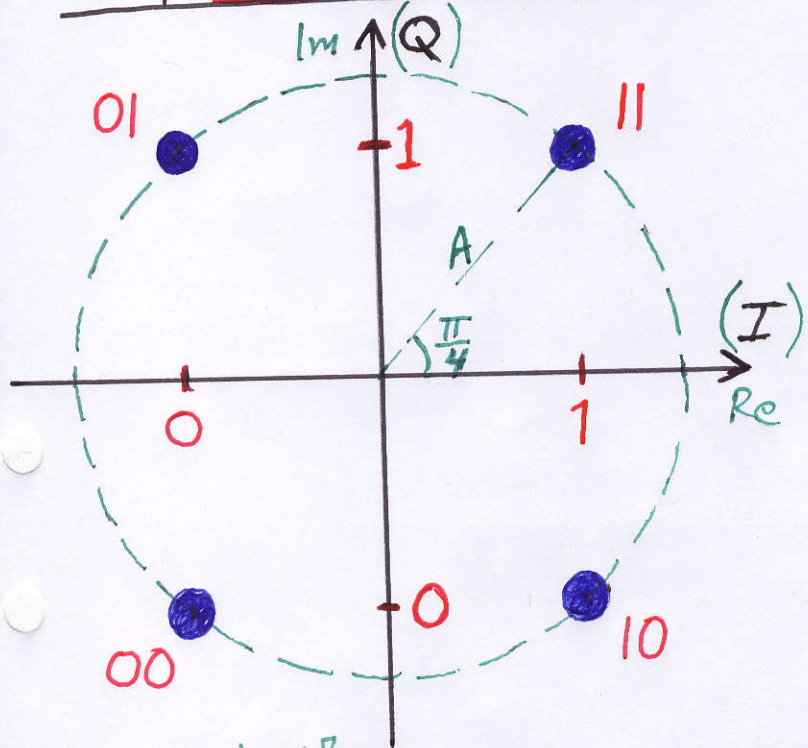
## M-PSK

(M faslägen)

$$S_i(t) = A \cdot \cos(\omega_c t + \varphi_i); 0 \leq i < M$$

$i=1, 2, 3, \dots, M$

Ex, 4-PSK = QPSK



Gray-kod!

- Konstant bärvägsamplitud  $A$  och 4 olika faslägen

$$\varphi_i = \pm \frac{\pi}{4}, \pm \frac{3\pi}{4}$$

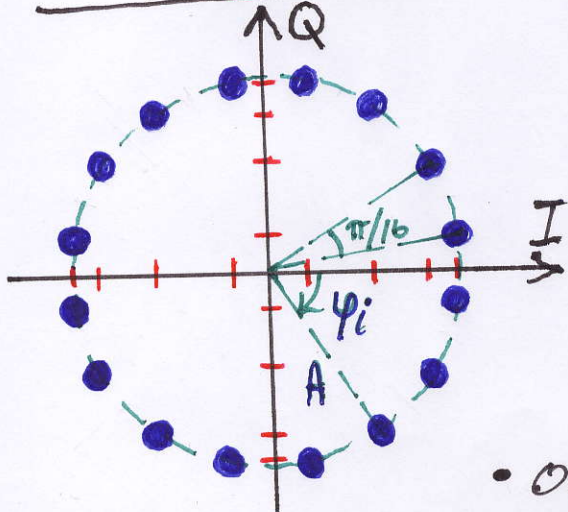
$$\Rightarrow \text{Punkterna } \underbrace{A \cdot e^{j\varphi_i}}_{i=1, 2, 3, 4}$$

- Demodulera genom att detektera/bestämma I-komponenten och Q-komponenten separat, (motsvarar BPSK i varje dimension)

- I (In-Phase) component: AM-demodulera genom multiplikation med  $\cos(\omega_c t)$
- Q (Quadrature) component: AM-demodulera genom multiplikation med  $\sin(\omega_c t)$

$\Rightarrow$  det binära ordet (IQ), 2 bitar

Ex, 16-PSK



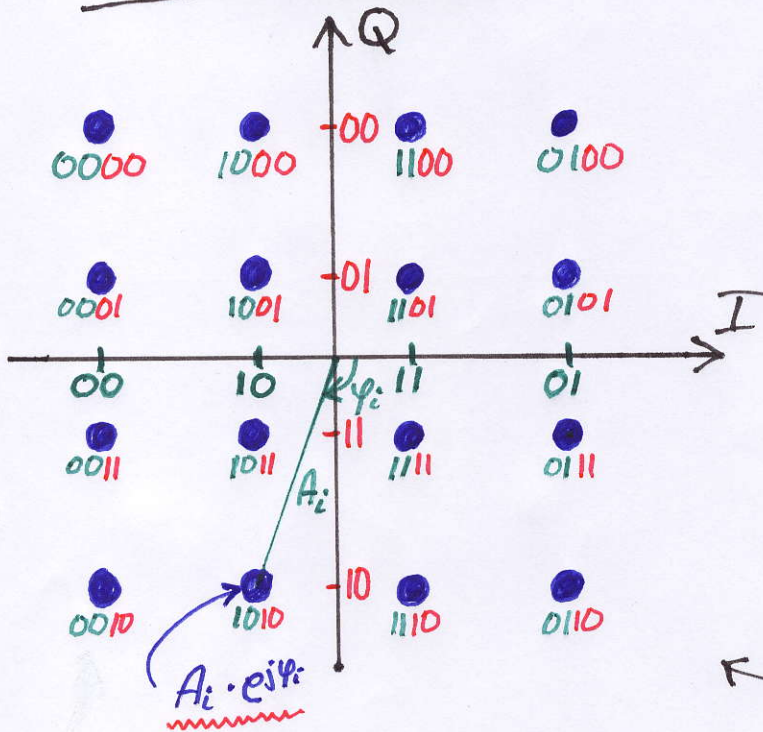
- 4 bitar/signalpuls  $\Rightarrow M = 2^4 = 16$  olika faslägen hos signalpulserna  $A \cdot \cos(\omega_c t + \varphi_i); 0 \leq i < 16$

- Ojämn fördelning av möjliga I-komponenter och Q-komponenter  $\Rightarrow$  ej lika "lätt" att detektera som för t.ex. 4-PSK
- Om M ökar  $\Rightarrow$  sannolikheten för feldetektering ökar (för samma A)

# QAM (Quadrature Amplitude Modulation)

⇒ Andra både amplitud & fas hos bärvägen / signalpulsen

Ex, 16-QAM:

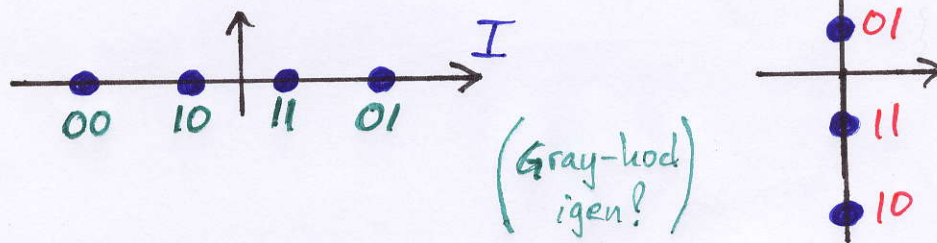


Enkelt att detektera varje signalpunkt, dvs. amplitud  $A_i$  och fas  $\varphi_i$  hos resp. signalpuls

$$s_i(t) = A_i \cdot \cos(\omega_c t + \varphi_i); 0 \leq t < T$$

genom att ta fram I- & Q-komponenterna separat och sedan kombinera dessa enligt principen som visas i signaluppsättningsdiagrammet

konstellationsdiagrammet



M-QAM har högre störtålighet (mot t.ex. brus) och är enklare att detektera / demodulera än M-PSK.

Se Fig. 4.8, 4.9 & 4.10 i Mihaels kompendium

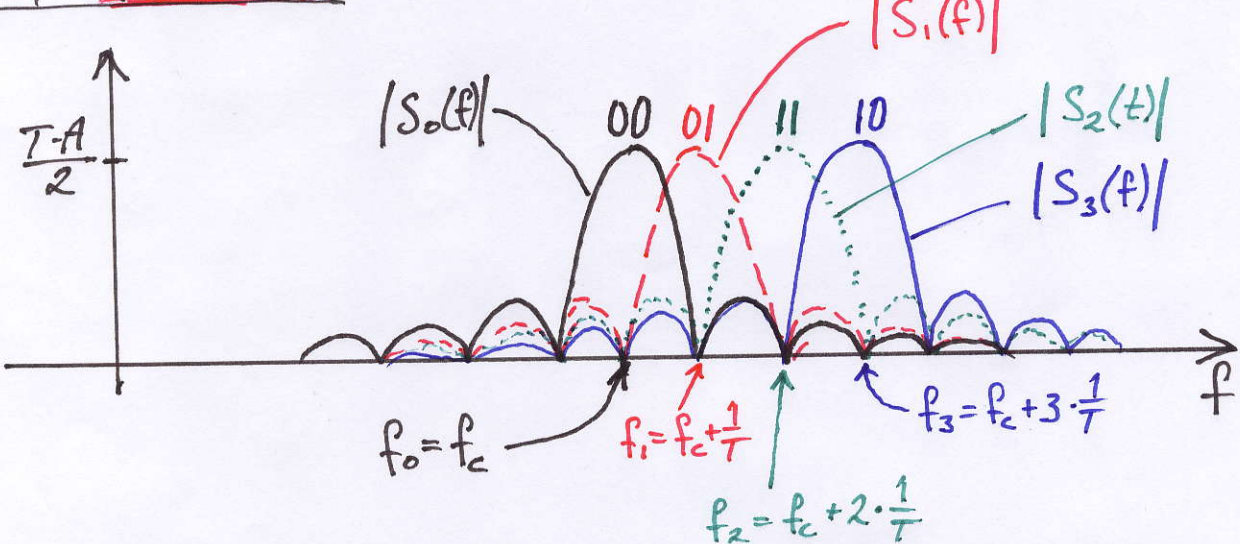
⇒ Signaluppsättningsdiagram för olika modemstandarder, t.ex. 32-QAM & 128-QAM.

## FSK/M-FSK (Frequency Shift Keying)

$$s_i(t) = \begin{cases} A \cdot \cos(\omega_i t) & ; 0 \leq t < T \\ 0 & \text{f.o.} \end{cases}$$

$\omega_i = 2\pi f_i$  där  
 $f_i = f_c + \frac{i}{T}$   
 $i = 0, 1, 2, \dots, M-1$

### Ex. 4-FSK



- M ortogonala signaler  $s_i(t)$ ,  $i=0,1,2,3,\dots,M-1$ .
- I varje tidsintervall skickas en av dessa  $s_i(t)$ , med amplitudspektrum enligt ovan.
- Mer större än PSK & QAM, men kräver att kanalen har högre bandbredd.

## OFDM (Orthogonal Frequency-Division Multiplexing)

- En utvidgning av FSK, där man använder flera frekvenser/bärvägor samtidigt,
- Eftersom man för varje bärväg kan variera både amplitud och fas, så kan OFDM även/hellre ses som en utvidgning av QAM.
- Beroende på hur mycket störningar kanalen genererar vid olika frekvenser, så kan man läta de olika bärvägorna representera olika många bitar  $\Rightarrow$  stor flexibilitet
- Används i många digitala kommunikationssystem, som Digital-TV, digital radio, xDSL-modem, WLAN (trådlösa nätverk), 4G-mobiltelefonsystem m.fl.